

## تحلیل پایداری شبیه‌های خاکی مهار شده با میخکوبی

### نادر هاتف

دانشیار بخش مهندسی راه و ساختمان – دانشکده مهندسی – دانشگاه شیراز

### میر جلال کمری

فارغ التحصیل کارشناسی ارشد مکانیک خاک و پی - بخش مهندسی راه و ساختمان - دانشگاه شیراز

(تاریخ دریافت روایت اصلاح شده ۱۹/۱۲/۸۳، تاریخ تصویب ۲۴/۲/۸۴)

### چکیده

میخکوبی خاک<sup>۱</sup> یک روش تسلیح در جای خاک است که در دو دهه اخیر برای حفظ دیوارهای حفاری و ایستایی شبیه‌ها به صورت روز افزون به کار می‌رود. روش‌های طراحی که مورد استفاده قرار گرفته در اروپا عمدهاً روش آلمانی و روش فرانسوی و در امریکا روش Davis می‌باشد. در حالت کلی این روشها پدیده از جا درآمدگی<sup>۲</sup> میخ و پایداری کلی دیوار را کنترل می‌کنند. در این مقاله یک روش تحلیل برای رسیدن به تغییر شکل‌ها و نیروها در میخ‌ها و در نهایت طراحی آنها ارائه شده است. برای ارزیابی این تغییر شکلها و نیروها یک برنامه تحلیلی و طراحی رایانه‌ای بنام (Soiln) با استفاده از نرم افزار Visual Basic با کاربری بسیار آسان تدوین گردیده است. مثال‌هایی از کاربرد این برنامه ارائه شده و با نتایج روش‌های دیگر مقایسه گردیده است.

### واژه‌های کلیدی: شبیه خاکی، میخکوبی خاک، خاک مسلح، تحلیل پایداری شبیه

### مقدمه

کوله‌پلهای و خطوط راه آهن استفاده شده است. اساس سیستم خاک مسلح بر مبنای استفاده از مصالحی است که توانایی تحمل تنفس‌های کششی بالایی را دارند بگونه‌ای که توده خاک مسلح شده پایدار باشد.

در راستای استفاده مؤثر از خاک مسلح، استفاده از روش‌های جدیدتری نظری مهاربندی خاک<sup>۳</sup> و میخ کوبی خاک معمول شده است. سیستم‌های مهاربندی و میخ کوبی خاک جهت پایدارسازی و نگهداری سازه‌های خاکی طراحی می‌شوند، تا توسط المانهای کششی، تغییر مکانهای سازه را محدود نمایند. اساس طراحی این عناصر بر مبنای انتقال بار از طریق اصطکاک یا چسبندگی در ناحیه فصل مشترک خاک و مصالح تسلیح می‌باشد. از مزایای اجرای این سیستم ها، امکان پایدارسازی دیوارهای خاکی بزرگ، در زمان کوتاه و با مراحل اجرایی کمتر نسبت به سایر روش‌ها و با مصرف کمترین هزینه می‌باشد. استفاده از این سیستم‌ها در سازه‌های خاکی که شرایط اجرای این سیستم‌ها را دارند، مستلزم یک تخمین دقیق از دوام و پایداری اجزای سازه در

با پیشرفت‌های بوجود آمده در راه سازی و راه آهن و عبور اینگونه راهها از مناطق کوهستانی، مشکلات اجرایی زیادی برای مهندسان بوجود آمده، که از جمله آنها، پایدارسازی شبیه‌ها و ساخت دیوارهای نگهدارنده در شرایط سخت محیطی است. از طرفی حفاری در خاک‌های نرم برای اجرای زیرزمین‌ها و سازه‌های مدفون مستلزم پایدار نگهداشتمن دیواره حفاری است که این خود نیز مشکلات ویژه‌ای دارد. هزینه‌های بالای اجرای دیوارهای حایل صلب و بطور کلی معایب روش‌های معمول، مهندسان طراح را به سمت استفاده از روش‌های دیگر پایدارسازی سوق داد بطوریکه به تدریج، سیستم‌های انعطاف پذیر با نشست پذیری نسبی بیشتر، جایگزین سازه‌های معمول نگهدارنده شده‌اند. سیستم‌های خاک مسلح از جمله این روشها می‌باشند. برای اولین بار، در سال ۱۹۶۳ میلادی یک مهندس فرانسوی بنام Vidal روش تسلیح خاک را ارائه کرد که این روش به سرعت مراحل پیشرفت را طی کرد و فراغیر شد و در ۲۵ سال اخیر از این روش در ساختن دیوارهای حایل،

کاهش مقدار حفاری و کارهای بتنی در پی سازی، حذف خاکریز پشت دیوارها، امکان اجرای سریع میخ کوبی در داخل خاک با توجه به اینکه میخ‌ها، پیش‌کشیده نیستند و امکان اجرای سریع و ارزان دیوار نما که معمولاً بتن پاشی<sup>۵</sup> می‌شود، استفاده از مصالح ارزانتر، انعطاف‌پذیری و اجرایی بودن اشاره نمود. سازه‌های میخ کوبی شده دارای انعطاف‌پذیری سازه‌ای بیشتری نسبت به سایر روش‌های تسلیح و دیوارهای بتنی مسلح می‌باشند. این سازه‌ها دارای امکان نشست پذیری نهایی و نسبی بیشتری می‌باشند بنابراین در مناطق فعال از نظر زلزله، مناسب‌تر می‌باشند.

از معایب و محدودیتهای عمدۀ میخ کوبی می‌توان به مشکل بودن ساخت سیستم‌های زهکشی مناسب در خاک‌های ریزدانه، نقش خزش در رسهای پلاستیک در پایداری دراز مدت سازه و تغییر مکانهای جانبی عدم بسیج ظرفیت از جا درآمدگی مصالح تسلیح بطور کامل در خاک‌های چسبنده نرم، امکان خوردگی مصالح در محیط‌های مخرب اشاره نمود.

همچنین این نکته قابل ذکر است که برای اینکه یک سیستم میخ کوبی شده بطور کامل کار کند، بایستی خاک تغییر مکان جانبی داشته باشد تا در میخ‌ها نیروی کششی بوجود آید، لذا در مناطق شهری، بایستی فاصله مورد نیاز بین توده میخ کوبی شده و سازه مجاور آن حفظ شود تا از بوجود آمدن بارهای اضافه بر سازه مجاور جلوگیری شود.

### رفتار سیستم خاک مسلح و خاک میخکوبی شده

رفتار یک سیستم خاک مسلح بستگی به پارامترهای مختلفی نظیر هندسه سازه، مراحل اجرا، دانسیته و مشخصات مکانیکی خاک، دانسیته مصالح تسلیح، تغییر شکل طولی آنها، سختی خمشی مصالح تسلیح، زاویه مصالح تسلیح نسبت به سطح گسیختگی و... دارد. در مکانیزم اندرکنش بین خاک و مصالح تسلیح، چه در خاک مسلح و چه در سیستم میخ کوبی، تنش اصطکاکی بسیج شده در طول مصالح تسلیح، از تغییر شکل جانبی سازه جلوگیری می‌کند. نتایج آزمایشهای انجام شده بر روی مدل‌های حقیقی خاک مسلح و خاک میخ کوبی شده نشان می‌دهند

دراز مدت می‌باشد. این امر خود بستگی به نوع مصالح تسلیح، سیستم محافظت در برابر خوردگی و نحوه قرار دادن مصالح تسلیح دارد.

### ویژگی‌های خاک میخکوبی شده

میخ کوبی خاک یک روش در جای تسلیح خاک می‌باشد که در دو دهه اخیر در کشورهای مختلف جهت پایدارسازی گودبرداریهای عمیق و همچنین پایدارسازی شبیهای طبیعی، کاربرد وسیعی پیدا کرده است. همچنین آئین نامه تونل اتریش این روش را جهت تسلیح تونلهای، بعنوان یک نگهدارنده انعطاف‌پذیر در حفاریهای زیرزمینی پیشنهاد داده است. از این روش در جهت پایدارسازی ترانشه‌های راه آهن و بزرگراه‌ها، لغزش زمین، مدخل تونلها جهت پایدارسازی خاک‌های لایه‌ای ضعیف و ناپایدار و دیگر پروژه‌های عمرانی، استفاده شده است [۱۲، ۹، ۷، ۴، ۲].

اساس این سیستم بر مبنای کاربرد مصالح تسلیح کششی در ناحیه مقاوم خاک<sup>۴</sup> می‌باشد که در فاصله کمی نسبت به یکدیگر قرار گرفته‌اند. سیستم‌های میخ کوبی شده قابلیت تحمل بارهای قائم استاتیکی و دینامیکی را دارا می‌باشند. از این‌رو می‌توان از این سیستم جهت ساخت کوله‌پله‌ها استفاده نمود. همچنین می‌توان از این سیستم جهت پایدارسازی و تعمیر سازه‌های خاکی موجود نیز بهره‌برد. در سیستم‌های میخ کوبی شده، مصالح تسلیح عموماً از میلگردۀای فولادی که قابلیت تحمل نیروهای کشش و تا اندازه‌ای برشی را دارند تشکیل شده است. این مصالح را می‌توان در داخل سوراخهای از قبل حفاری شده قرار داد و سپس عملیات تزریق را در اطراف آنها انجام داد. یا اینکه میخ‌ها، بدون عملیات حفاری، در زمین کوبیده شوند. میخ‌ها از نوع پیش‌کشیده شده نیستند اما دارای فاصله کمی نسبت به یکدیگر می‌باشند. سطح سازه میخ کوبی شده از نظر باربری نقش عمدۀ ای ندارد اما می‌تواند به عنوان یک محافظت در برابر فرسایش و خوردگی عمل نماید. این سطح عموماً از یک لایه بتن تشکیل شده است که این بتن بر روی یک شبکه توری فلزی پاشیده می‌شود. از جمله مزایای روش‌های مهار و میخکوبی خاک، می‌توان به امکان ایجاد یک پایدارسازی اولیه و موقت در حین عملیات خاکبرداری،

[۱۲] Davis روشن

[۱۳] روشن آلمانی

[۱۰] روشن فرانسوی

[۶] روشن آنالیز سینماتیک حدی

شرح کاملی از هریک از این روشها و مقایسه آنها توسط کمری [۱] ارائه شده است و از ارائه آن در اینجا خودداری می‌گردد و فقط به شرح اجمالی روش LUO و همکاران که در این تحقیق مورد استفاده قرار گرفته است پرداخته می‌شود.

### روشن LUO و همکاران

در این روش که اساس آن تعادل نیروها میباشد سطح گسیختگی حفاری بصورت یک سطح شیب دار مانند  $OB$  با زاویه  $\theta$  در نظر گرفته میشود، شکل (۱). ضریب اطمینان در مقابل لغزش ( $F_S$ ) از رابطه زیر به دست می‌آید:

$$F_S = \frac{(N + T_t - p_w) \operatorname{tg} \phi' + T_s + T_c + cL}{P} \quad (1)$$

در این رابطه نیروی لغزاننده  $P$  مؤلفه رانشی وزن خاک و سربار در راستای صفحه لغزش، نیروی  $N$  مؤلفه نرمال بر سطح لغزش وزن خاک،  $p_w$  نیروی فشار آب عمود بر سطح لغزش،  $T_c$  برآیند نیروی مقاومت برشی میخ ها در متر طول دیوار و  $T_t$  و  $T_s$  مؤلفه های موازی و عمود بر سطح لغزش نیروی کل کششی میخها ( $T$ )،  $\phi'$  و  $c$  مشخصات مکانیکی خاک و  $L$  طول سطح لغزش می باشند. بر اساس روابط هندسی نشان داده شده در شکل (۱) برای رسیدن به روابط عملی تر داریم:

$$p = \left( \frac{1}{2} \gamma H + q \right) H \cos \theta \quad (2)$$

$$P_w = \frac{\gamma_w H_w^2}{2 \sin \theta} \quad (3)$$

$$T_s = T \cos(\alpha + \theta)$$

$$T_t = T \sin(\alpha + \theta)$$

(۴)

که این دو سیستم از نظر موقعیت حداکثر نیروی کششی بوجود آمده در مصالح تسلیح، قابل مقایسه می باشند [۲]. گسیختگی در یک توده مسلح می تواند بر اثر گسیختگی مصالح تسلیح، از جا درآمدگی مصالح تسلیح از داخل خاک رخ دهد.

تحقیقات انجام شده بر روی مدل‌های حقیقی و آزمایشگاهی نشان می دهد که تغییر مکان نسبی جانبی لازم جهت بسیج شدن نیروهای کششی در داخل مصالح تسلیح در هر دو سیستم خاک مسلح و میخ کوبی خاک، در حد میلیمتر می باشند. این تحقیقات نشان می دهند که حداکثر این تغییر مکانها در حدود  $3/0\%$  ارتفاع دیوار می باشند [۴، ۲].

تحقیقات انجام شده نشان می دهند که در خاک های دانه ای کوبیده شده اصطکاک خاک- مصالح تسلیح بستگی کامل به رفتار اتساعی خاک دارد. تحت تنش های برشی بسیج شده در ناحیه فصل مشترک، خاک دانه ای که در نزدیکی ناحیه تسلیح قرار دارد، تمایل به اتساع خواهد داشت. اما این اتساع توسط توده خاک اطراف و بالای آن محدود می شود. این اثر محدود کننده بعلت تمرکز تنش های قائم وارد بر ناحیه تسلیح می باشد که تابعی از تنش های قائم بکار رفته است و نه فقط وزن خاک بالای خاک مسلح [۱۱].

### روشهای طراحی

یکی از عمدۀ ترین مسائل در طراحی میخها در سیستم خاک میخکوبی شده تعیین نیروی بوجود آمده در میخها می باشد. روش‌های مختلفی جهت تعیین این نیرو وجود دارد. بطور کلی این روشها را می توان به ۵ دسته کلی زیر طبقه بندی کرد:

۱- استفاده از نمودارهای تجربی فشار جانبی خاک

۲- روش نیرو- جابجایی (p-y)

۳- تحلیل المان های محدود

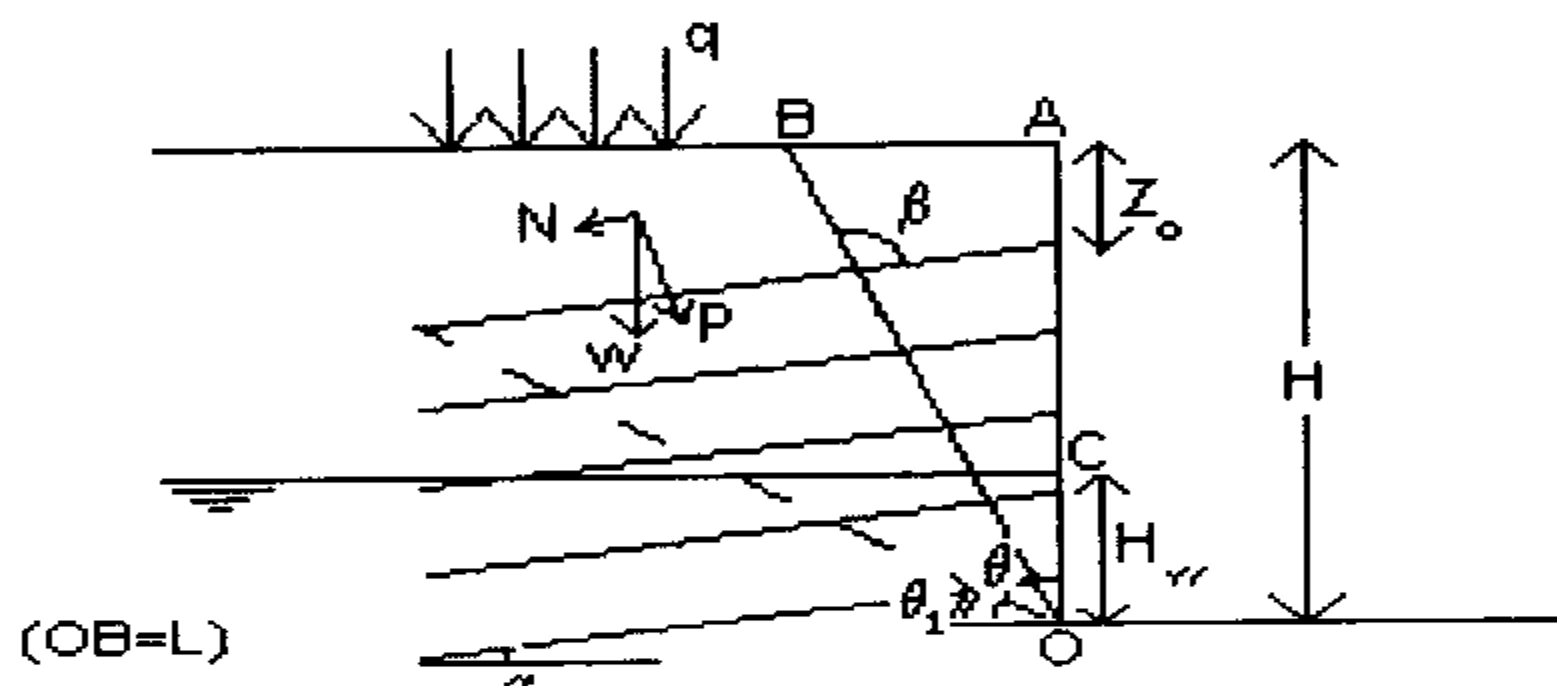
۴- روش های معادلات حدی

۵- روش LUO و همکاران [۸]

روشهای معادلات حدی خود، به ۴ روش تقسیم می شود:

میخ،  $N_C$  و  $N_q$  و  $N\gamma$  فاکتورهای مقاومت ترزاکی و  $Z_i$  عمق ام لایه میخ میباشد. درنهایت  $F_s$  رامیتوان بصورت رابطه (۱۰) نوشت.

$$\begin{aligned} F_s = & \frac{\operatorname{tg}\phi'}{\operatorname{tg}\theta} + \frac{2C}{(0.5\gamma H + q)\sin 2\theta} + \\ & \frac{T}{(0.5\gamma H + q)H\cos\theta} \left[ \frac{\sin(\alpha + \theta)\operatorname{tg}\phi'}{\cos(\alpha + \theta)} \right] \\ & - \frac{\gamma_w H^2 \operatorname{tg}\phi'}{(0.5\gamma H + q)H\sin 2\theta} - \\ & \frac{T_c}{(0.5\gamma H + q)H\cos\theta} \end{aligned} \quad (10)$$



شکل ۱: سطح گسیختگی و جزئیات در روش Lu0 و همکاران.

### بهبود روش Lu0 و همکاران

بررسی تحقیقات و مطالعات گذشته نشان میدهد که تعادل نیروها اساس کار تقریباً "کلیه روشهای طراحی میخکوبی خاک است. سطح بحرانی لغزش در اکثر روشهای قبلی صفحه بوده و برنامه های رایانه ای موجود که برای پیش بینی رفتار و طراحی مورد استفاده قرار میگیرند چنین سطوحی را بررسی میکنند. بنابراین به نظر میرسد که با توجه به رفتار واقعی شبیهای میخکوبی شده در نظر گرفتن سطوح غیر صفحه ای منجر به دقت بیشتری در بررسی اینگونه شبیهها میگردد براین اساس برای اصلاح روش طراحی میخکوبی خاک اهداف این تحقیق بر محورهای زیر استوار گردید:

۱- ارائه الگوریتم مناسب جهت آنالیز نیروها با در نظر گرفتن سطوح شکست صفحه ای و غیر صفحه ای و با در نظر گرفتن انواع مختلف خاک و مصالح مورد استفاده به عنوان میخ.

$$T = \frac{1}{S_h} \sum_{i=1}^n T_i \quad (5)$$

در این روابط  $\gamma$  وزن حجمی میانگین،  $H$  ارتفاع دیوار،  $\gamma$  وزن حجمی آب،  $H_w$  ارتفاع سطح آب،  $\alpha$  زاویه انحراف میخ ها نسبت به افق،  $T$  نیروی کشش کل میخ ها،  $S_h$  فاصله افقی میخ ها و  $n$  تعداد لایه های میخکوبی می باشند. برای  $\theta_1$  در شکل (۱) نیروی کل کششی در میخها توسط فرمول زیر محاسبه می گردد:

$$\begin{aligned} T = & \frac{1}{S_h} \left\{ \pi D \tau \{ n l - [n(H - Z_o) - \right. \right. \\ & \left. \left. 0.5(n-1)S_V] \frac{\cos\theta}{\sin(\alpha + \beta)} \right\} \right. \\ & \left. + \pi n D (\tau_p - \tau) / \rho_p \right\} \end{aligned} \quad (6)$$

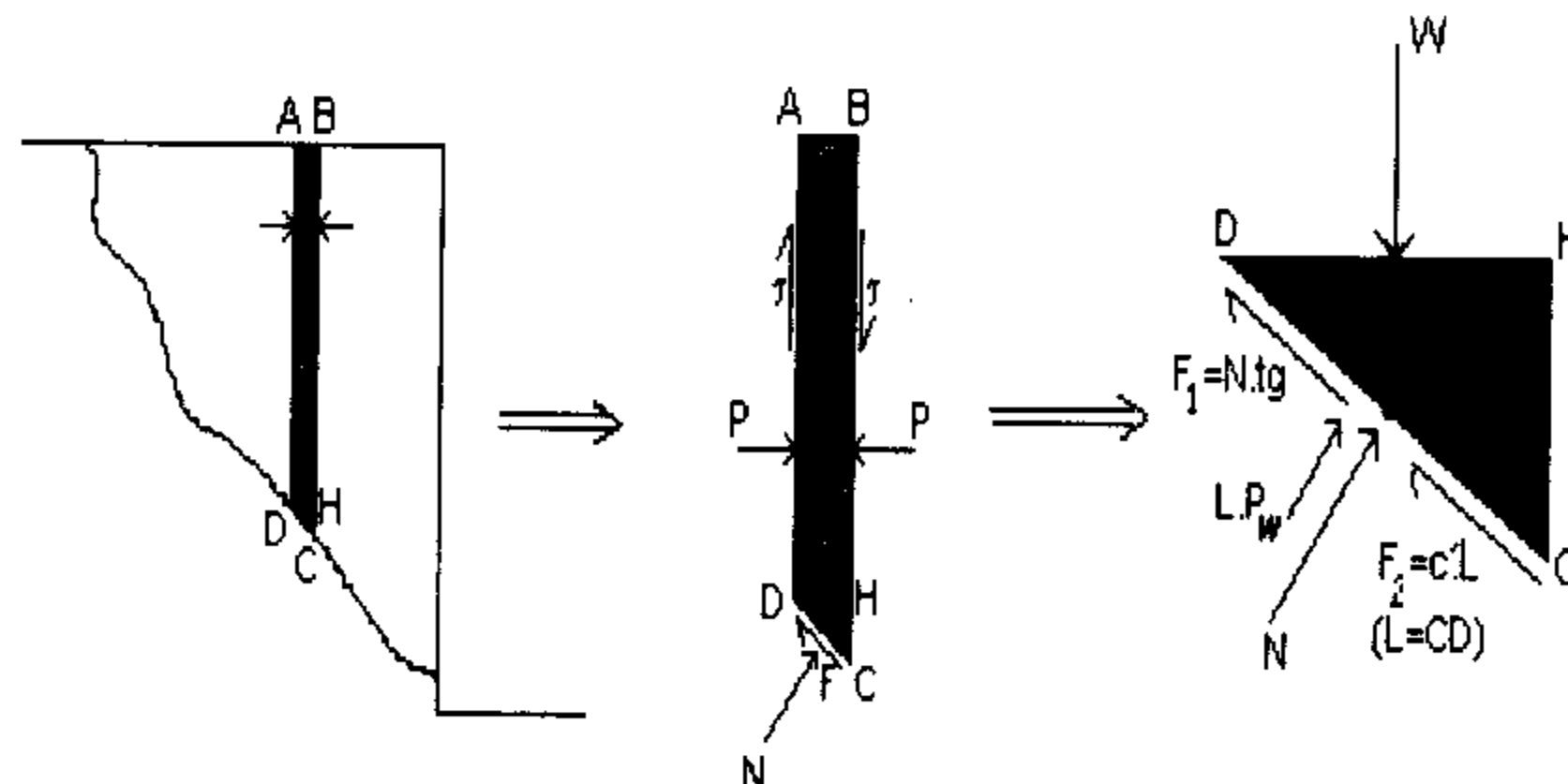
در این رابطه  $\theta_1$  زاویه انحراف سطح لغزش گذرنده از انتهای اولین لایه میخ ها و پنجه دیوار،  $Z_o$  فاصله قائم از بالی دیوار تا اولین لایه میخ،  $D$  قطر میخ ها،  $\tau$  تنفس برشی مقاوم در طول میخ،  $S_V$  فاصله قائم میخ ها،  $l$  طول کل میخ ها،  $\rho_p$  طول تزریق شده و  $\tau_p$  تنفس چسبندگی بین تزریق و میخ می باشد. برای حالت  $\theta_1$  لایه هایی از میخ که در صفحه گسیختگی قرار می گیرند در نظر گرفته می شوند. برای محاسبه  $T_c$  از رابطه ارائه شده توسط [۱۱] به صورت زیر استفاده میگردد:

$$i=1, n \quad T_c = \frac{D}{2\pi S_h} \sum_{i=1}^n L_{si} P_{hi} \quad (7)$$

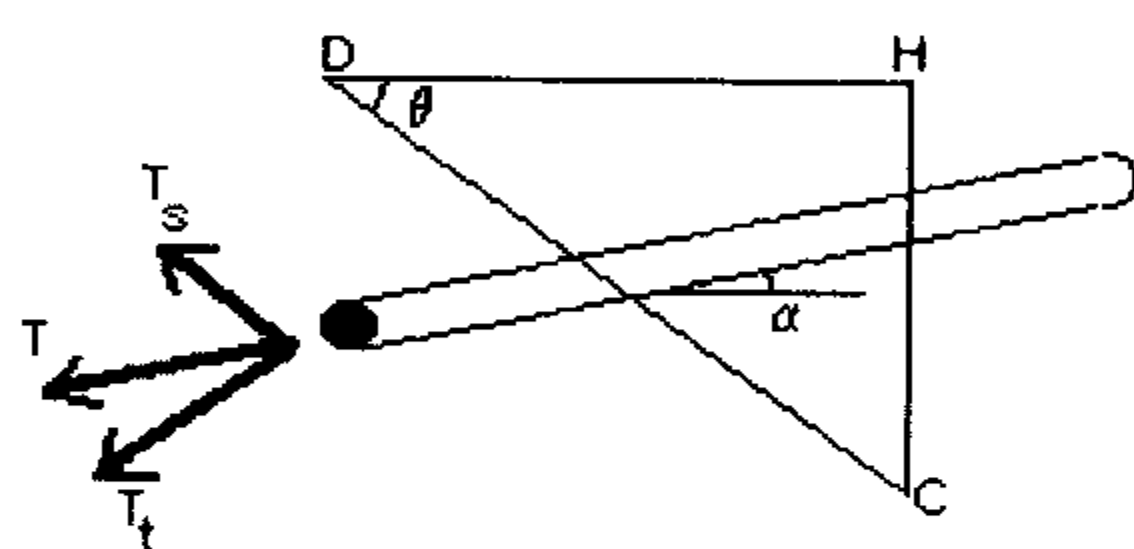
$$L_{si} = \frac{\pi}{2} \sqrt{\frac{4EI}{DK_s}} \quad (8)$$

$$P_{hi} = c' N_C + \gamma Z_i N_q + 0.5 \gamma' D N_\gamma \quad (9)$$

در این روابط  $P_{hi}$  فشار حدی،  $L_{si}$  فاصله بین دو نقطه در دو طرف صفحه گسیختگی از لایه ام لایه میخ است که حداقل گشتاور را دارد،  $K_s$  ضریب عکس العمل خاک،  $E, I, D$  بترتیب قطر، اینرسی مقطع و مدول الاسیسته



شکل ۲: آنالیز نیروها در یک المان از خاک.



شکل ۳: تجزیه نیروی کششی میخ در جهت سطح گسیختگی و عمود بر آن.

حالا میخکوبی را وارد مسئله میکنیم در آن صورت نیروهای ناشی از وجود میخ در شکل (۳) نشان داده شده اند. مطابق شکل (۳) اگر نیروی کشش میخ  $T$  باشد، مولفه های این نیرو عبارتند از:

$$\begin{aligned} \text{زاویه میخ با افق} &= \alpha \\ T_t &= T \sin(\alpha + \theta) \end{aligned} \quad (16)$$

$$T_s = T \cos(\alpha + \theta) \quad (17)$$

بنابراین در این حالت رابطه  $F_s$  به شکل زیر در می آید:

$$\begin{aligned} F_s &= \left\{ \left[ \frac{C}{\cos \theta} + (\gamma h \cos \theta - \frac{P_w}{\cos \theta}) \tan \phi \right] dx + \right. \\ &\quad \left. T \sin(\alpha + \theta) \tan \phi + T \cos(\alpha + \theta) \right\} / (\gamma h \sin \theta dx) \end{aligned} \quad (18)$$

تو جه به این نکته ضروری است که جمله  $T \cos(\alpha + \theta)$  در حالت  $\alpha + \theta > 90^\circ$  منفی شده و کارایی میخ را منفی میسازد (شکل ۴).

- ارائه برنامه رایانه ای مناسب برای انجام محاسبات لازم.
- امکان سنجی استفاده از لوله های فلزی مشبک پرشده از مواد نفوذ پذیر در پایداری شباهای خاکی اشیاع، با توجه به اینکه یکی از مشکلات دیوارهای میخکوبی شده زهکشی آنها می باشد.

بر این مبنای تحلیل مسائل یک عنصر از خاک را در یک حفاری به صورت عنصر  $ABCD$  در نظر می گیریم شکل (۲). نیروهای وارد به این عنصر در شکل نشان داده شده اند. با توجه به اینکه مجموع گشتاور ها در نقطه E صفر است، بنابراین تنش های برشی درنظر گرفته نمی شوند و از طرفی کلیه نیروها در واحد طول عمود بر صفحه محاسبه گردیده است. برای محاسبه این نیروها با توجه به شکل مذبور داریم:

- نیروی رانش:

$$\begin{aligned} \theta &= CDH \text{ زاویه} \\ p &= \gamma h \sin \theta dx \end{aligned} \quad (11)$$

- نرمال وزن خاک:

$$N' = \gamma h \cos \theta dx \quad (12)$$

- مقاومت خاک در اثر اصطکاک داخلی:

$$F_1 = N' \tan \phi - P_w \times L \tan \phi \quad (13)$$

$$F_2 = CL = C \sqrt{1 + \tan^2 \phi} dx = \frac{C}{\cos \theta} dx \quad (14)$$

بنابراین با توجه به تعریف ضریب اطمینان وقتی که میخکوبی وجود ندارد ضریب اطمینان در مقابل گسیختگی (Fs) برای یک سطح بحرانی عبارتست از:

$$\begin{aligned} F_s &= \frac{\sum (F_1 + F_2)}{\sum p} = \\ &\quad \frac{\sum \left( \frac{C}{\cos \theta} + \gamma h \cos \theta \tan \phi - \frac{P_w}{\cos \theta} \tan \phi \right) dx}{\sum \gamma h \sin \theta dx} \end{aligned} \quad (15)$$

طول آن،  $l/p$  طول تزریق شده،  $l'$  طول قسمتی از میخ است که بین منحنی  $C$  و سطح خاکبرداری میباشد. بنابراین نیروی کل ناشی از چسبندگی برابر است با:

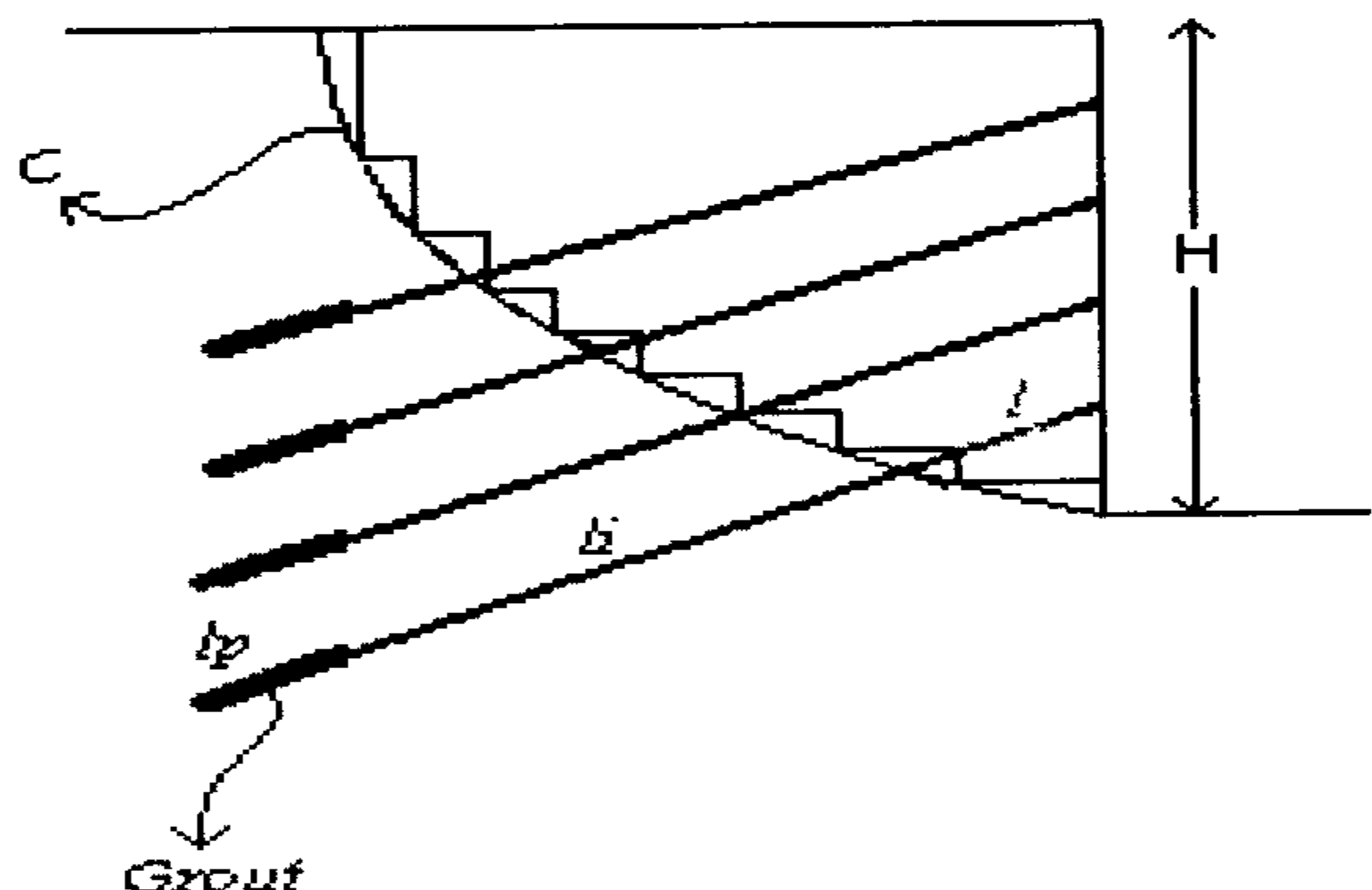
$$T = T_p + T_i = \pi D \tau_p l_p + \pi D \tau (l - l_p - l') \quad (22)$$

برای تعیین نیروی کل ناشی از میخ ها در واحد طول دیوار اگر  $Sh$  فاصله افقی میخ ها باشد خواهیم داشت:

$$\sum T = \sum \pi D [\tau_p l_p + \tau (l - l_p - l')] / S_h \quad (23)$$

بنابراین برای محاسبه  $F_s$  برای سطح  $C$  از رابطه (۲۴) استفاده می کنیم.

$$F_s = \left\{ \sum [C' / \cos \theta + (\lambda h \cos \theta - P_w / \cos \theta) \tan \theta] \Delta x + \sum \pi D [\tau p l p + \tau (l - l_p - l')] [ \sin(\alpha + \theta) \tan \phi + \cos(\alpha + \theta) ] / S_h \right\} / \sum \alpha h \sin \theta \Delta x \quad (24)$$



شکل ۵: نیروهای مؤثر در طول میخ نسبت به سطح گسیختگی.

### برنامه رایانه‌ای

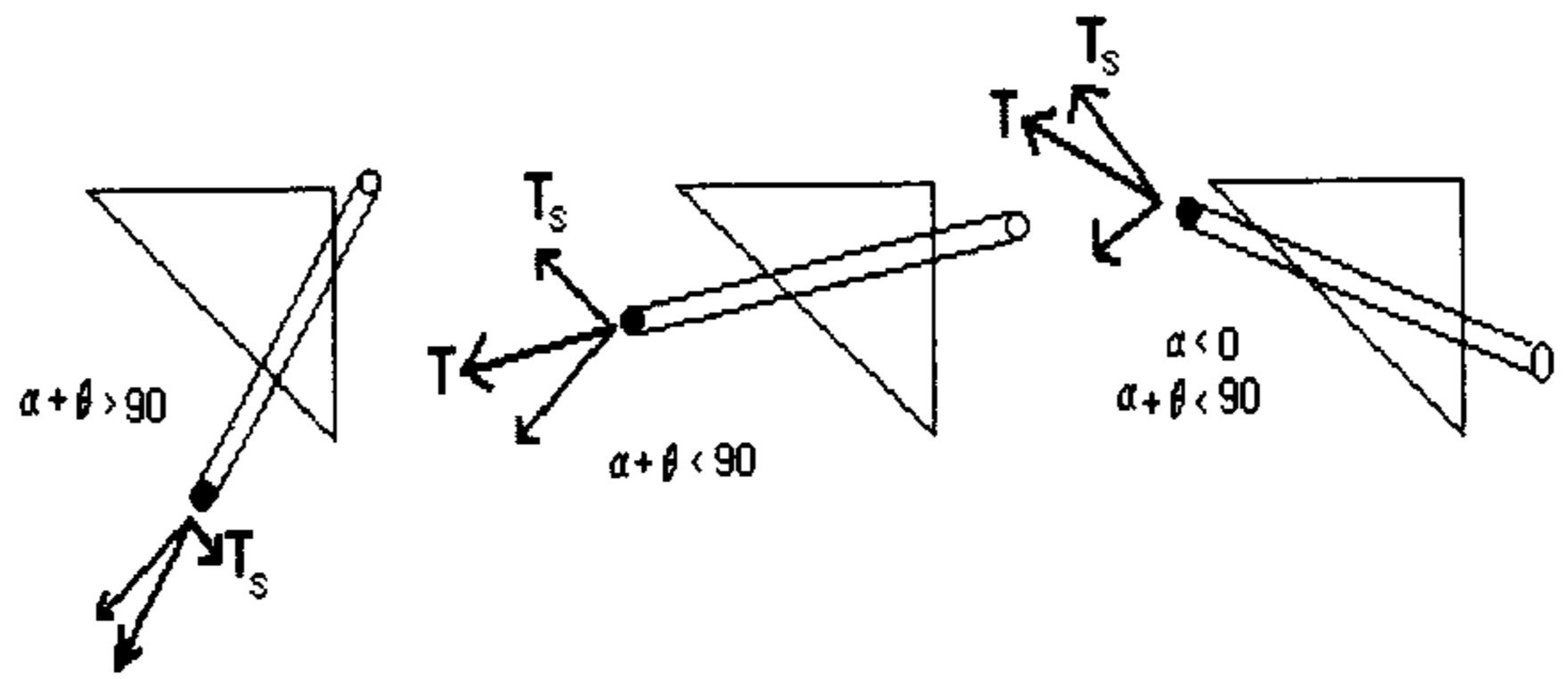
براساس آنچه در قسمت قبل ذکر گردید یک برنامه رایانه‌ای برای محاسبه نیروهای وارد به میخها در سیستم خاک میخکوبی شده که بتواند سطوح شکست غیرصفه ای را نیز در نظر گیرد در محیط (Visual Basic) نوشته شد. در این برنامه مراحل زیر اعمال گردیده است:

- با توجه به شکل (۶)، ابتدا فرض میکنیم که سطح شکست صفحه است به عبارت دیگر منحنی  $C$  خط راست است. اول

حال با توجه به شکل (۵) اگر  $C$  سطح بحرانی لغزش باشد نیروی کششی که در میخ بوجود می آید ناشی از دو عمل است:

- نیروی چسبندگی بین میخ و تزریق در طول  $p$

- نیروی چسبندگی بین میخ و ذرات خاک در طول  $i$



میخ با کارایی زیاد      میخ با کارایی منفی

شکل ۶: تأثیر زاویه میخکوبی در مهار خاک.

نیروی چسبندگی بین میخ و ذرات خاک در طول  $i$  برای طراحی شبی و میخکوبی در نظر گرفته نمیشود. ولی اگر طراحی میخ مد نظر باشد باید در محاسبات بجای  $i/p$  مقدار  $i/l$  در نظر گرفته شود.

برای محاسبه نیروی چسبندگی بین میخ و تزریق در طول  $i/p$ ، اگر  $D$  قطر میخ و  $\tau_p$  تنش چسبندگی بین میخ و تزریق و  $l/p$  طول تزریق شده باشد داریم:

$$Tp = \pi D \tau_p l p \quad (19)$$

اگر تنش چسبندگی تزریق و ذرات خاک را  $\tau' p$  و قطر تزریق را  $D'$  و طول تزریق را  $l'/p$  فرض کنیم باید داشته باشیم:

$$\pi D' \tau' p l'/p > \pi D \tau_p l p \quad (20)$$

در صورتی که رابطه اخیر ارضا نشود بجای  $Tp$  مقدار  $\pi D' \tau' p l'/p$  را در محاسبات در نظر گرفت.

برای محاسبه نیروی چسبندگی بین یک میخ و ذرات خاک،  $T1$ ، با توجه به شکل (۵) داریم:

$$T1 = D \tau l i = \pi D \tau (l - l_p - l') \quad (21)$$

در این رابطه  $\tau$  چسبندگی بین ذرات خاک و میخ،  $i$

و  $\Delta F_s/\Delta x_j$  و  $\Delta y_j$  مقادیر کوچک دلخواه انتخاب می شوند.

۲- با فرض  $S_1 = -G_1$  جهت حرکت برای هر مرحله تعیین می گردد.

$$S_i = -G_i + S(i-1) * G_{i-1} * G_i / (G(i-1) * G(i-1)) \quad i > 1 \quad (28)$$

۳- بهترین مختصات گره ها در جهت خلاف گرادیان پیدا می شود.

$$Z_{i+1} = (x_1, y_1, x_2, y_2, \dots, x_n, y_n) \quad (29)$$

حال کنترل می شود که آیا تابع به محل بهینه رسیده است یا نه؟

$$|F_s(Z_{i+1}) - F_s(Z_i)| < \epsilon, \epsilon = 1e-5 \quad (30)$$

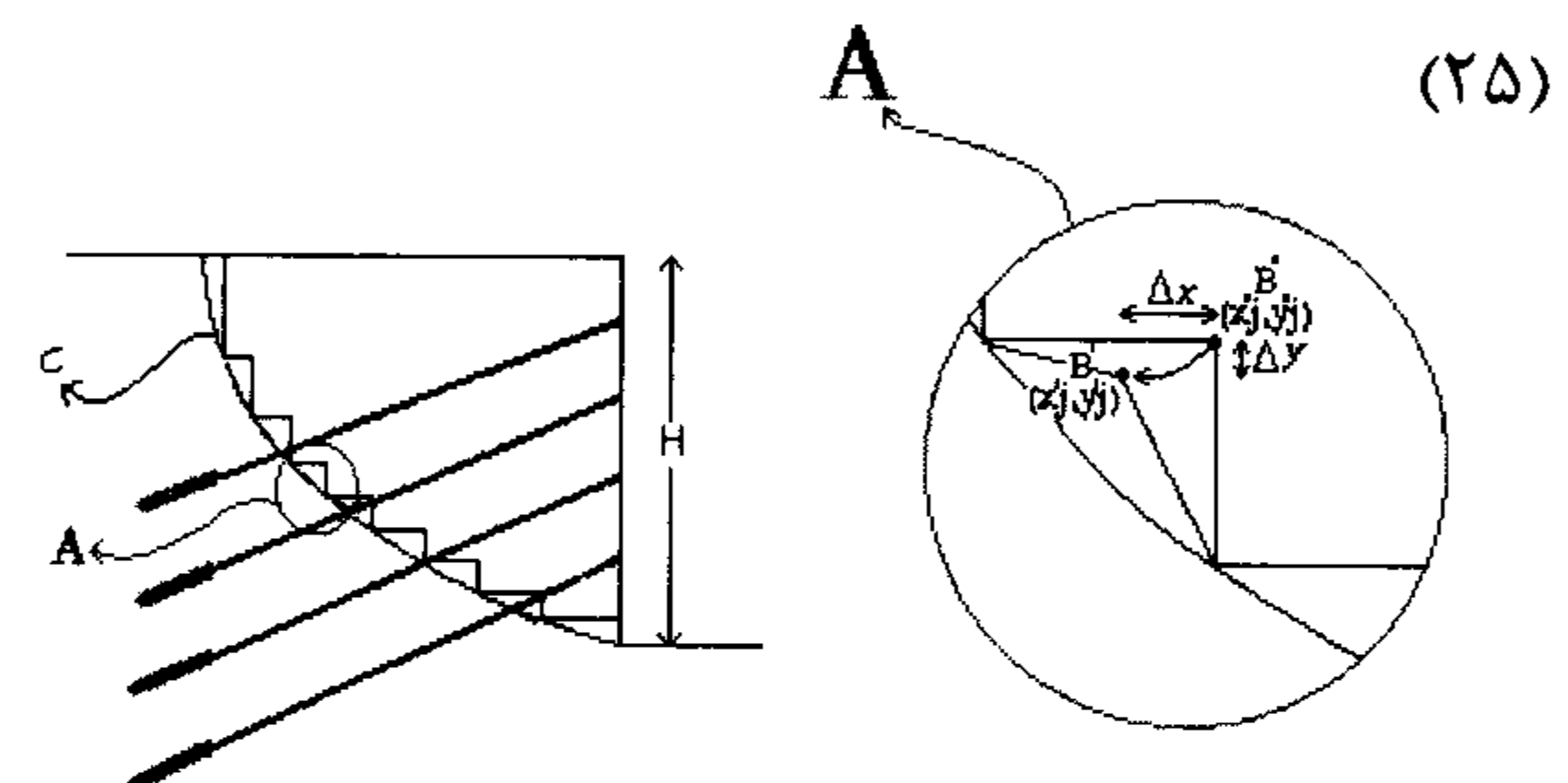
در صورت مثبت نبودن جواب، عملیات دوباره تکرار می شود. در شکل (۷) فلو چارت و مراحل کار برنامه رایانه ای دیده میشود.

## کاربرد برنامه و مقایسه با نتایج روش سینماتیک حدی

برای نشان دادن کارآیی برنامه نوشته شده، به عنوان مثال طراحی، دیواره یک حفاری قائم به ارتفاع ۱۲ متر با بالادست افقی را در نظر میگیریم، شکل (۸). مثال حاضر قبلاً با روش سینماتیک حدی حل شده و هدف مقایسه نتایج روش ارائه شده در این مقاله با روش سینماتیک حدی بعنوان کاملترین روش در میان روش های موجود طراحی قبلی می باشد. در همین مثال با تغییر زاویه میخکوبی سعی شده تاثیر این مسئله در ضریب اطمینان، نیروهای داخلی میخ و تغییر شکلها بوجود آمده در دیواره سازه مشخص گردد. فواصل افقی و قائم میخها ۱/۳۵ متر، زاویه میخکوبی ۲۵ درجه، تعداد آنها ۷ میخ در ارتفاع حفاری، با قطر ۱۰ میلیمتر در نظر گرفته شده است. طول میخها برابر ۱۰ متر و به اندازه کافی بزرگ انتخاب شده تا دچار پدیده از جادرآمدگی نشوند. بعد از محاسبات ( $I_{min}$ ) که توسط برنامه ارائه می گردد، میتواند بعنوان حداقل طول مورد نیاز برای میخ مورد استفاده قرار گیرد.

یک خط با  $\theta$  های مختلف ( $\theta$  زاویه خط بالف) امتحان میکنیم و  $F_s$  را پیدا میکنیم.  $F_s$  مینیم را محاسبه کرده و خط مربوط به آنرا  $C$  می نامیم.  $C$  در واقع آغاز حرکت ما خواهد بود. سپس خط  $C$  را به قطعات کوچک تقسیم میکنیم. عمل تقسیم به وسیله گره ها انجام میشود. گره ها مثل مفصل عمل میکنند. مفصلها به خط  $C$  خاصیت زنجیر بودن میدهند برای هر گره مانند  $Z$  داریم (ز شماره گره و ز شماره تکرار می باشد):

$$\nabla F_{sij} = -\left\{ \frac{\partial F_s}{\partial x_j}, \frac{\partial F_s}{\partial y_j} \right\}$$



شکل ۶: نحوه حرکت یک گره اختیاری مانند  $Z$ .

$\nabla F_{sij}$  گرادیان محلی در نقطه  $x_j$  و  $y_j$  میباشد. بهترین مکان برای انتقال گره  $Z$  درجهت خلاف گرادیان محلی است ولی برای گره های مرزی چون نقاط مذکور الزاماً باید روی مرز حرکت کنند گره ها را به اندازه  $d$  روی مرز امتحان میکنیم هر حرکتی که به  $F_s$  کمترین مقدار را بدهد در آن جهت حرکت میکنیم. در حالی که داریم  $B1B2$  و  $d < Bn-1Bn$  و  $d < B1B2$  طول زنجیر اول  $Bn-1Bn$  طول زنجیر آخر میباشد).

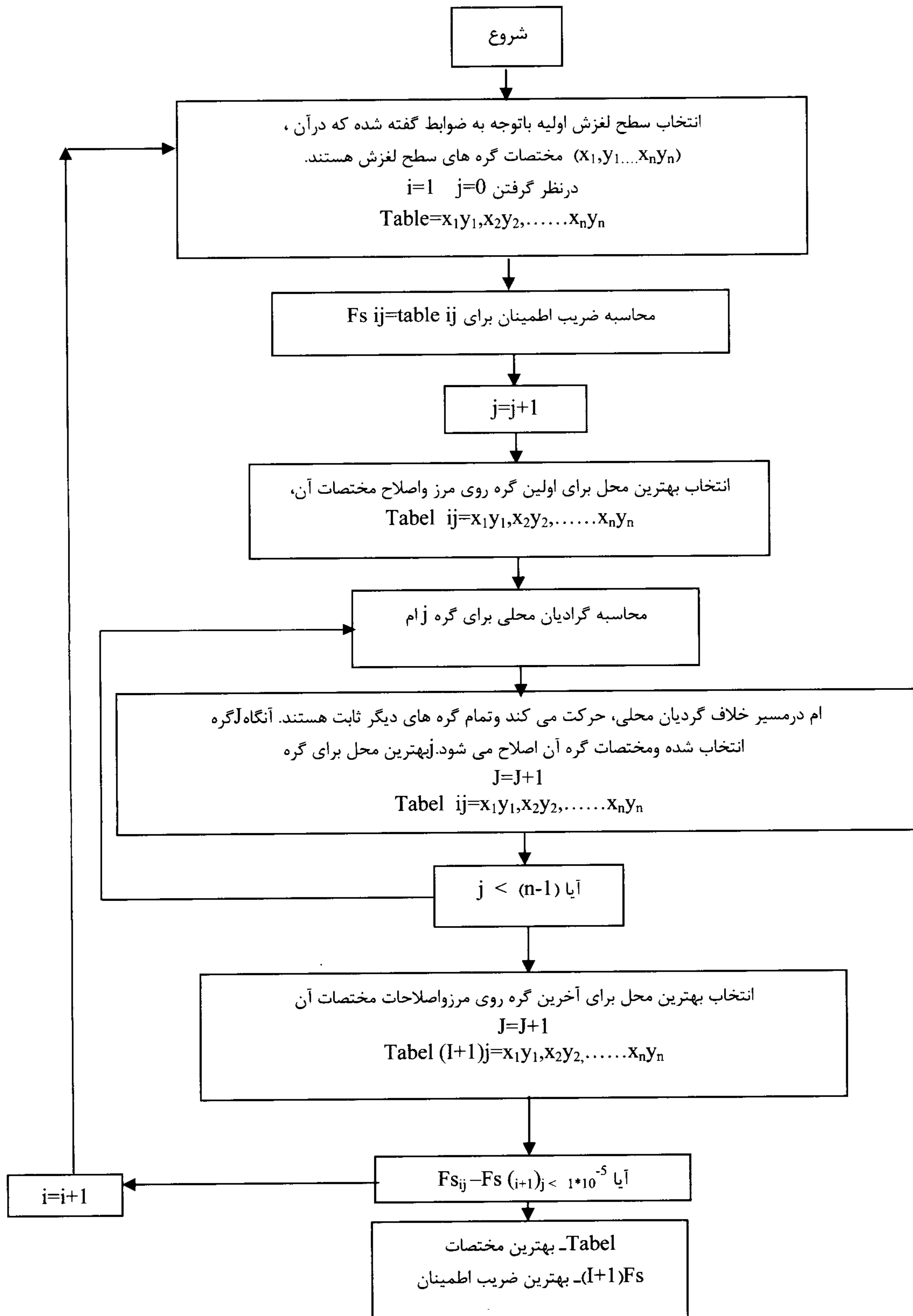
۱- سطح لغش اولیه، با توجه به ضوابط گفته شده انتخاب می شود.

$$Z1 = (x_1, y_1, x_2, y_2, \dots, x_n, y_n) \quad (26)$$

گرادیان تابع حساب می شود.

$$Gi = \{\Delta F_s/\Delta x_1, \Delta F_s/\Delta y_1, \Delta F_s/\Delta x_2, \Delta F_s/\Delta y_2, \dots, \Delta F_s/\Delta x_n, \Delta F_s/\Delta y_n\} \quad (27)$$

با توجه به شکل (۶)  $\Delta F_s$  برابر است با اختلاف  $F_s$  منحنی  $C$  با حضور نقطه  $B'$  با  $F_s$  منحنی  $C$  با حضور نقطه  $B$ . برای پیدا کردن مقدار  $\Delta F_s/\Delta y_j$



شکل ۷ : فلوچارت برنامه رایانه ای.

(3.96 m) توسط برنامه محاسبه میشود. علاوه بر این میزان افزایش طول میخها ( $\delta$ ) نیز توسط برنامه محاسبه می گردد که می تواند برای کنترل تغییر شکل دیواره مورد استفاده قرار گیرد.

مثال فوق الذکر با استفاده از روش سینماتیک حدی حل شده و ضریب اطمینان برابر ۲، نیروی کششی ماکزیمم (4.31kN) و حداقل طول مجاز میخ (3.9m) به دست آمده است (کمری، ۱۳۸۰). مقایسه نتایج نشان میدهد که روش سینماتیک حدی و روش ارائه شده در این تحقیق جوابهای تقریبا مشابهی می دهند.

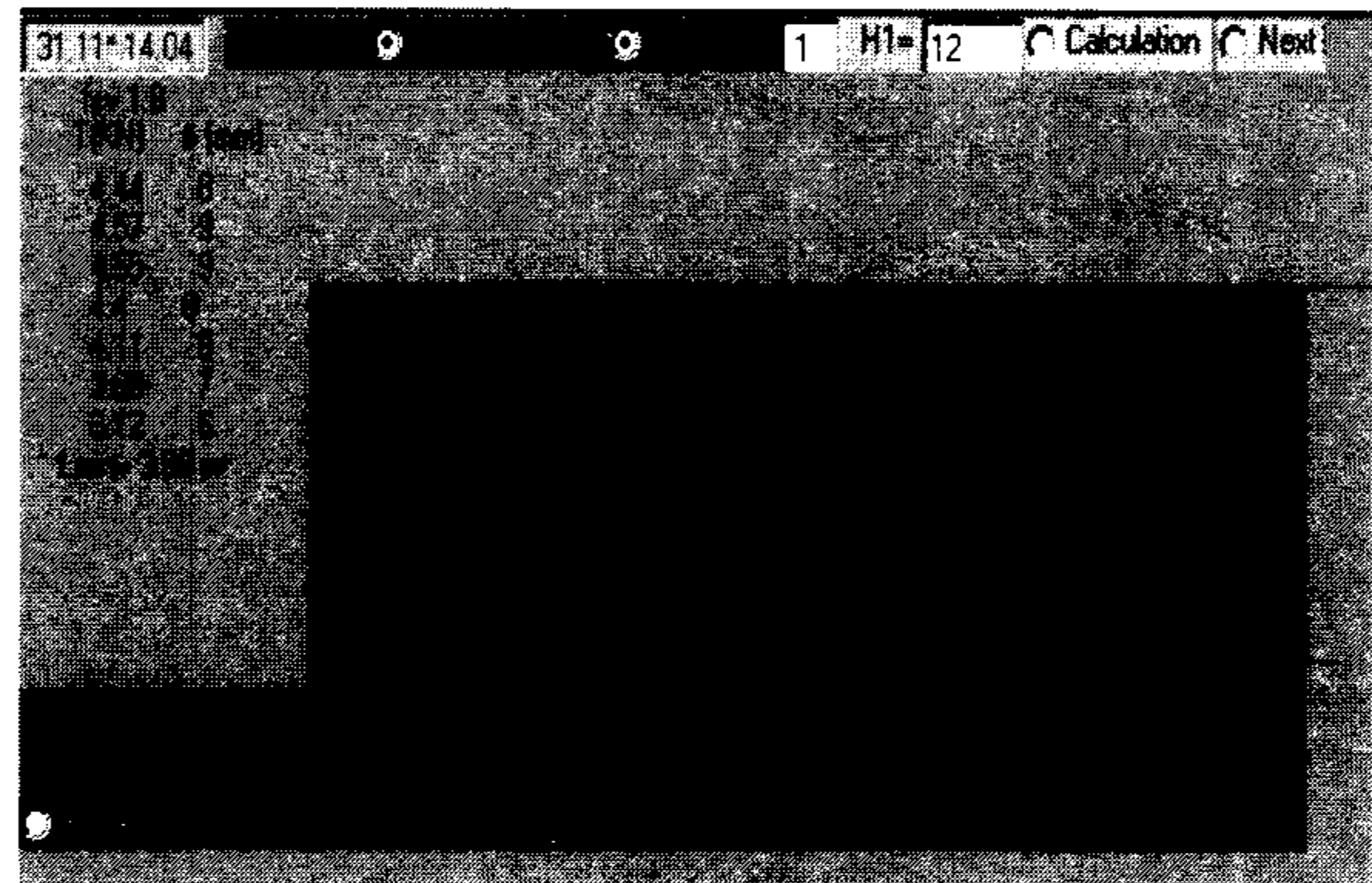
در این مرحله برای اینکه تاثیر زاویه میخکوبی را بررسی کنیم همین مسئله را با زاویه منفی حل میکنیم. زاویه  $\alpha = -10$  درجه انتخاب شده ولی بقیه مشخصات تغییر نیافته است. نتایج در شکل (۹) ملاحظه می گردد. مطابق این شکل ضریب اطمینان ۱۶٪ افزایش یافته و نیروهای داخلی میخها نیز ۱۵٪ بیشتر شده اند و طول مینیمم میخ تغییر قابل توجهی نیافته است. با توجه به اینکه تنش کششی میخ فاصله زیادی با تنش مجاز میخ دارد بنابراین افزایش نیروی داخلی میخ تاثیر چندانی در طراحی ندارد ولی افزایش ۱۶٪ ضریب اطمینان قابل توجه میباشد. از سوی دیگر میخکوبی با زاویه منفی این مزیت را دارد که امکان زهکشی خاک بوسیله میخهای مخصوص تو خالی فراهم شده و عمل مشکل اب حذف میگردد. میزان تغییر طول میخها نیز متعددانه کاهش یافته است.

### جمع آوری نتایج از مثالهای حل شده

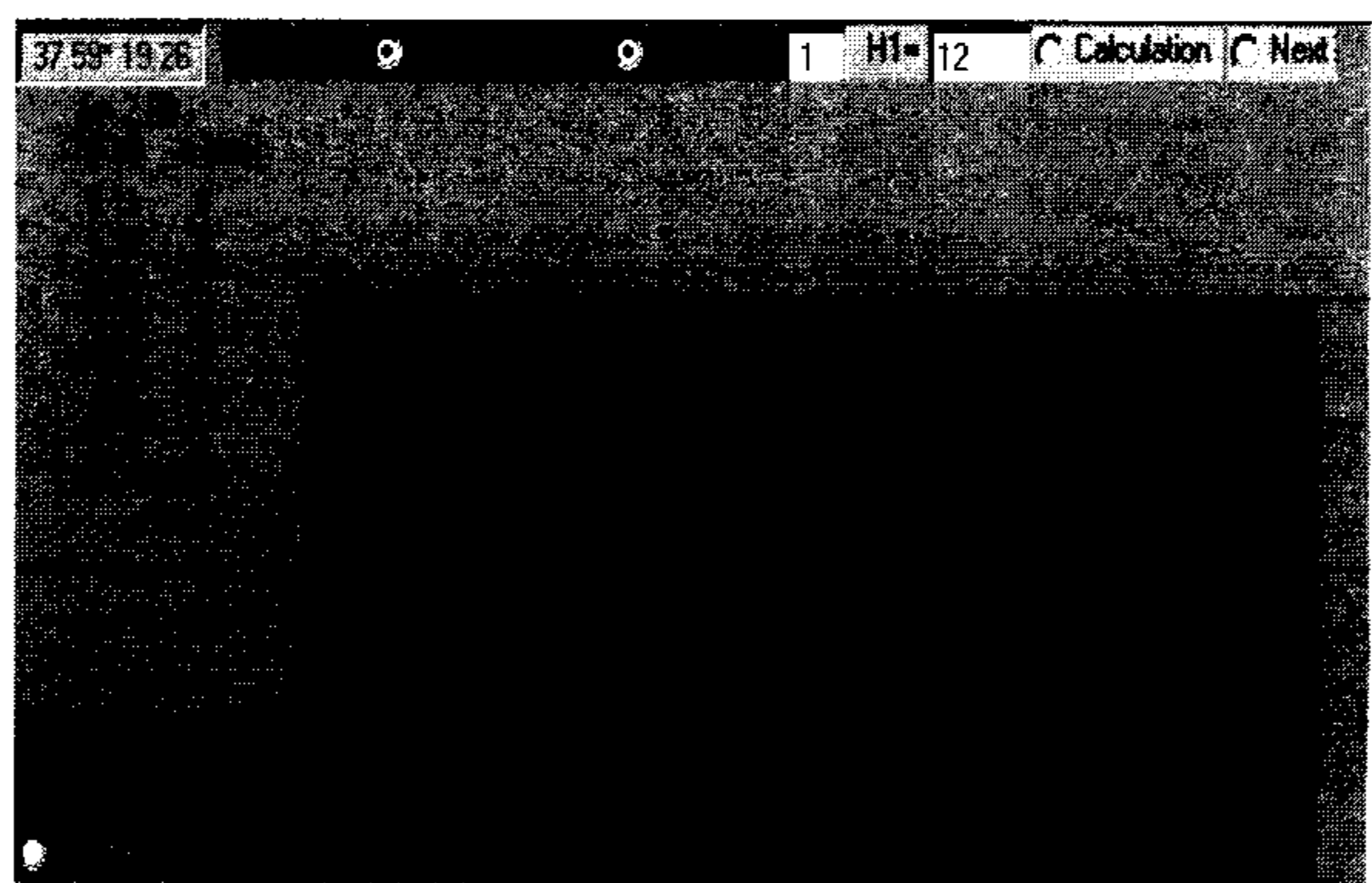
برای نشان دادن تاثیر پارامترهای مختلف بر رفتار میخها، نمودارهایی با استفاده از حدود ۷۰۰ مثال حل شده توسط رایانه بدست آمده است و تاثیر پارامترها ی زیر بررسی گردیده است.

با مراجعه به شکل (۱۰) دیده می شود که با افزایش زاویه اصطکاک خاک،  $\phi$  و چسبندگی،  $C$  در دو حالت خاک خشک و خاک اشباع چگونه نیروی کششی بیشینه ایجاد شده در میخ ها کاهش می یابد. همچنین همین اثر روی ضریب اطمینان برای ارتفاع  $H=10$  متر ملاحظه می شود، شکل (۱۱). در شکلهای (۱۲) الی (۱۴) نیز تاثیر

طول تزریق ۲ متر و قطر آن ۱۰۰ میلیمتر انتخاب میشود. سطح آب زیر زمینی در ارتفاع یک متری از پای حفاری در نظر گرفته میشود. زاویه اصطکاک داخلی خاک برابر ۳۵ درجه، چسبندگی ۱۲ (kN/m<sup>2</sup>)، وزن حجمی برابر ۲۰ (kN/m<sup>3</sup>) به برنامه داده شده است. با اجرای برنامه نیروهای به وجود آمده در میخها ارائه می گرددند، شکل (۸). بطوریکه ملاحظه میشود نیروی کششی ایجاد شده در میخهایی که در وسط سازه از نظر ارتفاع قرار دارند بیشتر از دیگر میخها است. بنابر این در طراحی سازه های میخکوبی شده به میخهایی که در حدود ۰.۳H الی ۰.۷5H توجه بیشتری مبذول کرده و سعی می شود میخها در این قسمت متتمرکز گرددند.



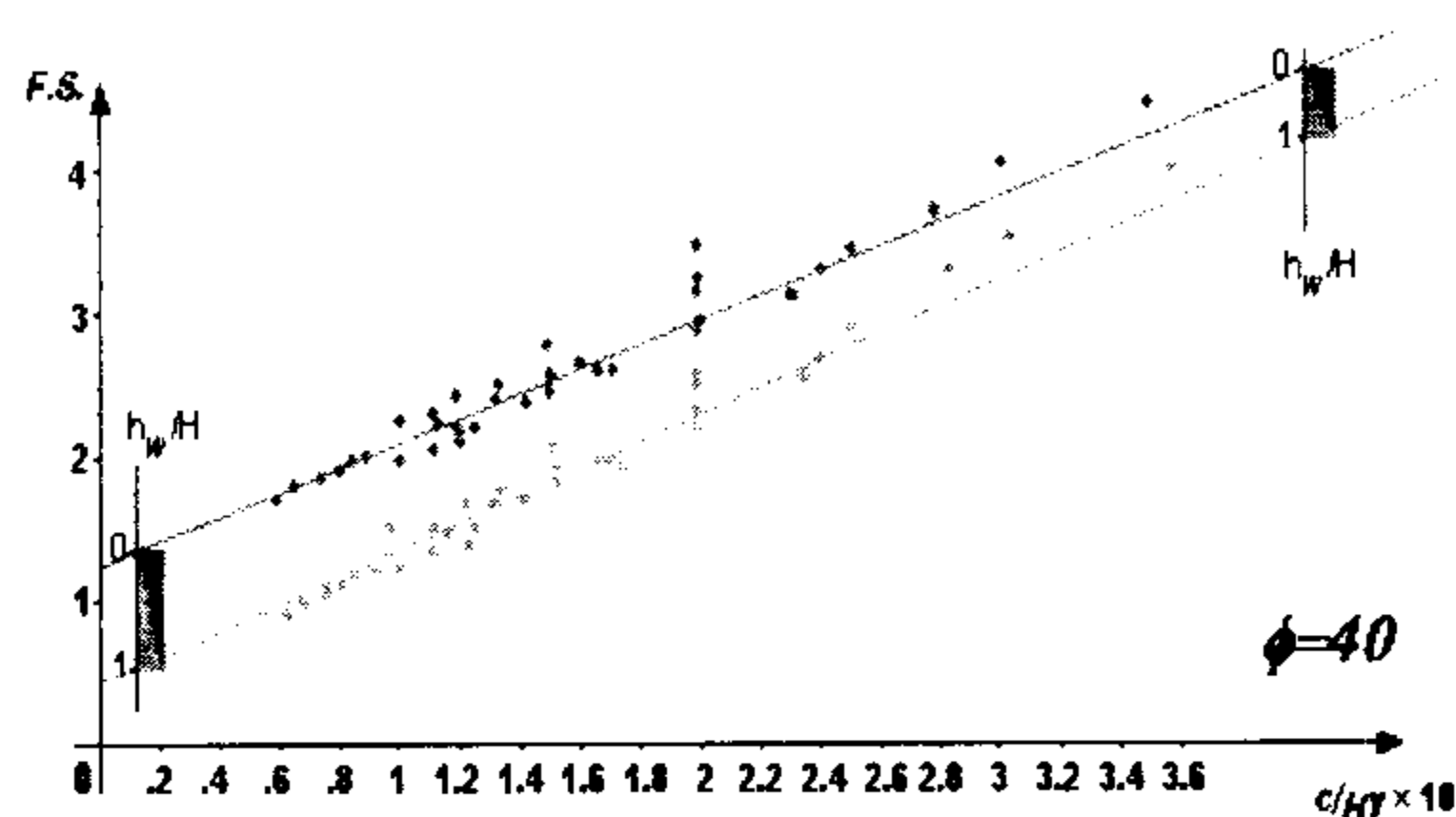
شکل ۸: خروجی برنامه رایانه ای.



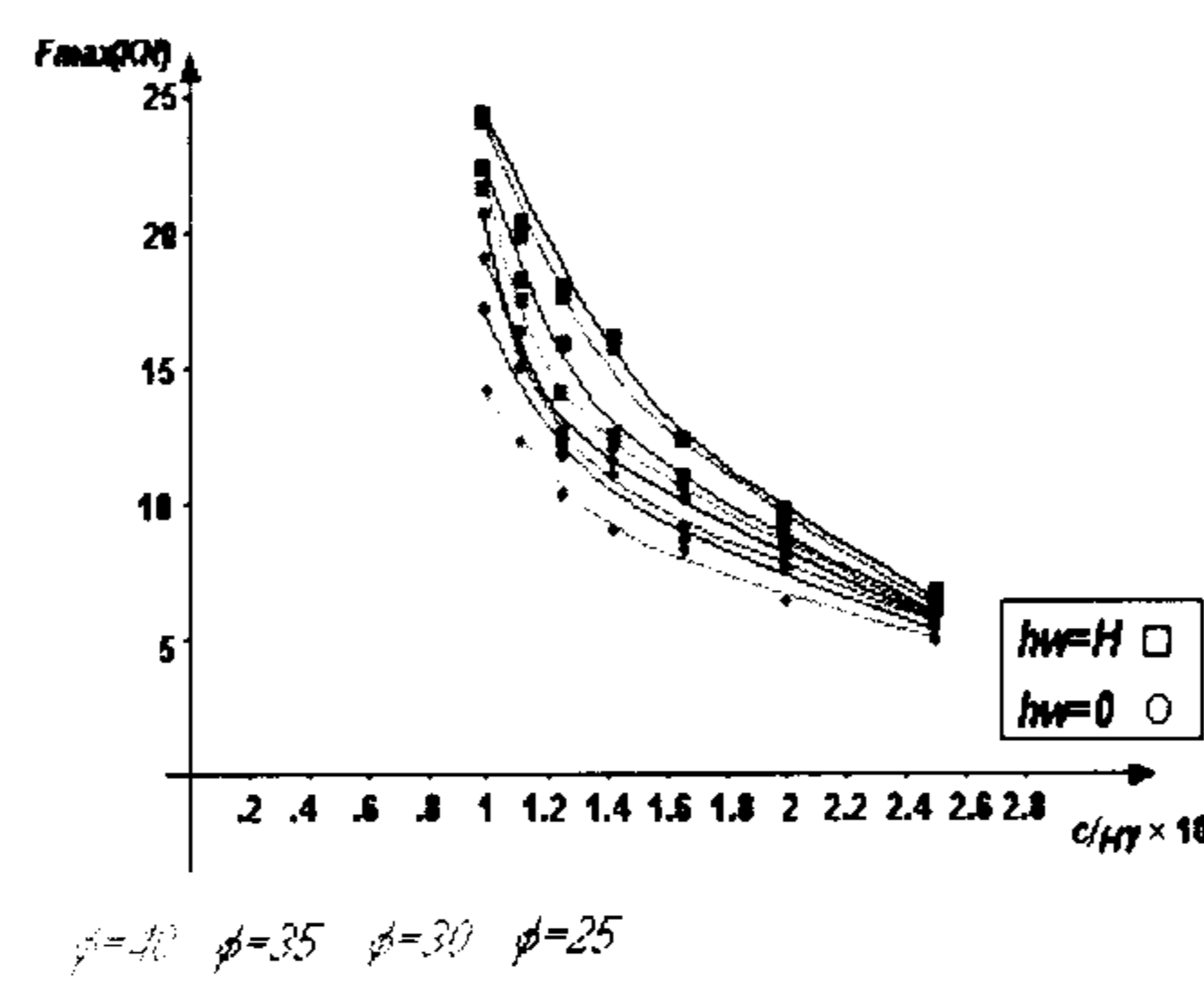
شکل ۹: نتایج میخکوبی با زاویه منفی.

ضریب اطمینان گسیختگی خاک ( $f_s=1.8$ )، نیروی کششی ماکزیمم (4.57 kN) وحدائق طول مجاز میخ

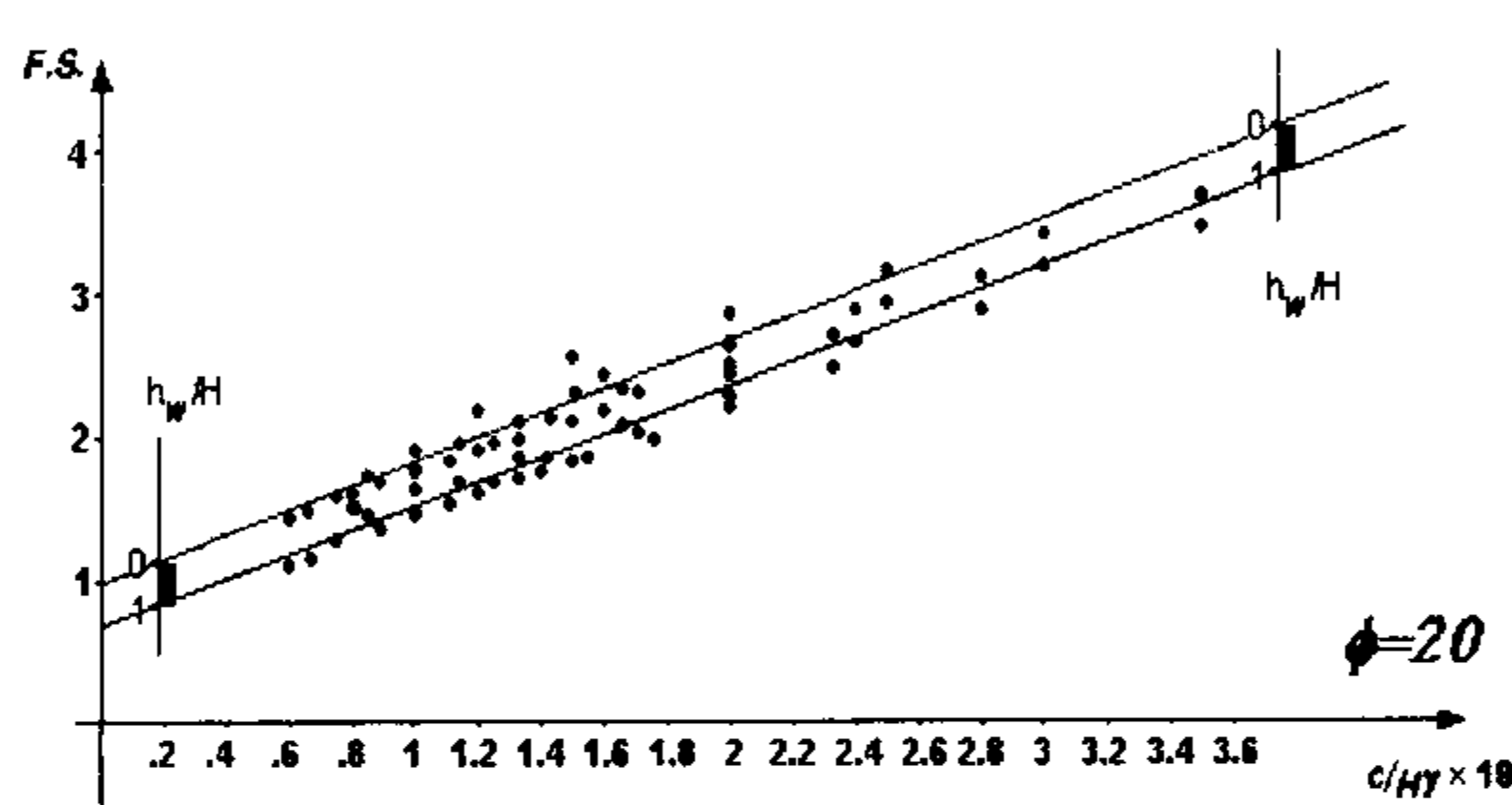
پارامترهای ارتفاع و اشباع بودن خاک روی ضریب اطمینان نشان داده شده است. همانطور که مشاهده میگردد افزایش ارتفاع باعث کاهش ضریب اطمینان و افزایش پارامترهای مقاومتی خاک باعث افزایش آن می گردد.



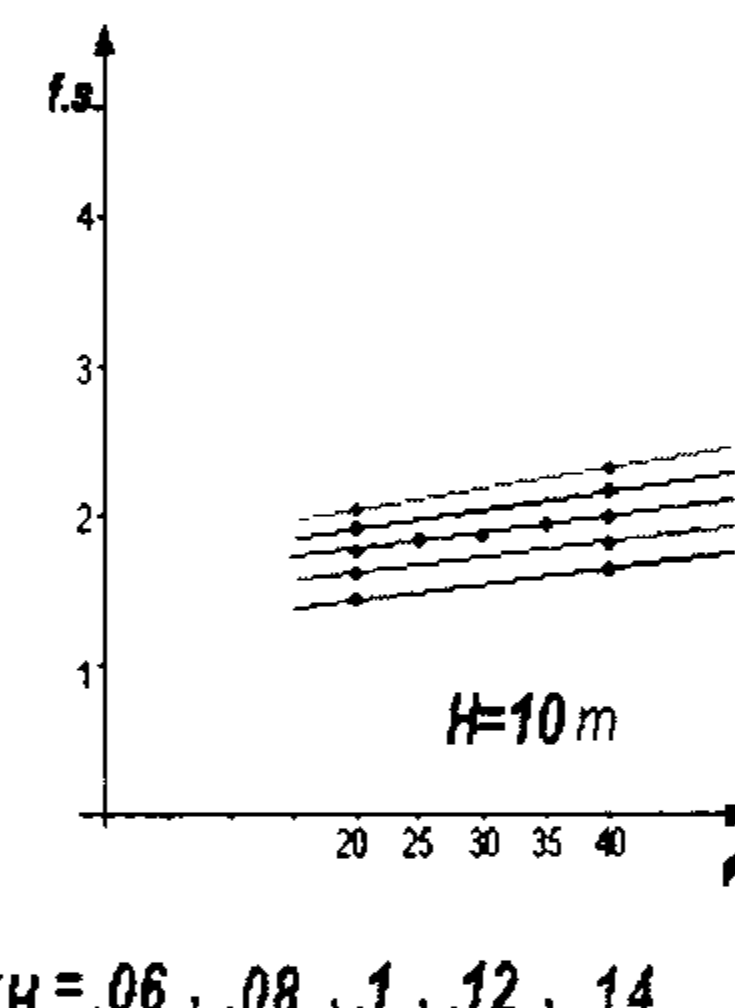
شکل ۱۳: تاثیر  $C/H\gamma$  روی ضریب اطمینان برای  $\phi=40$  در دو حالت خشک و اشباع.



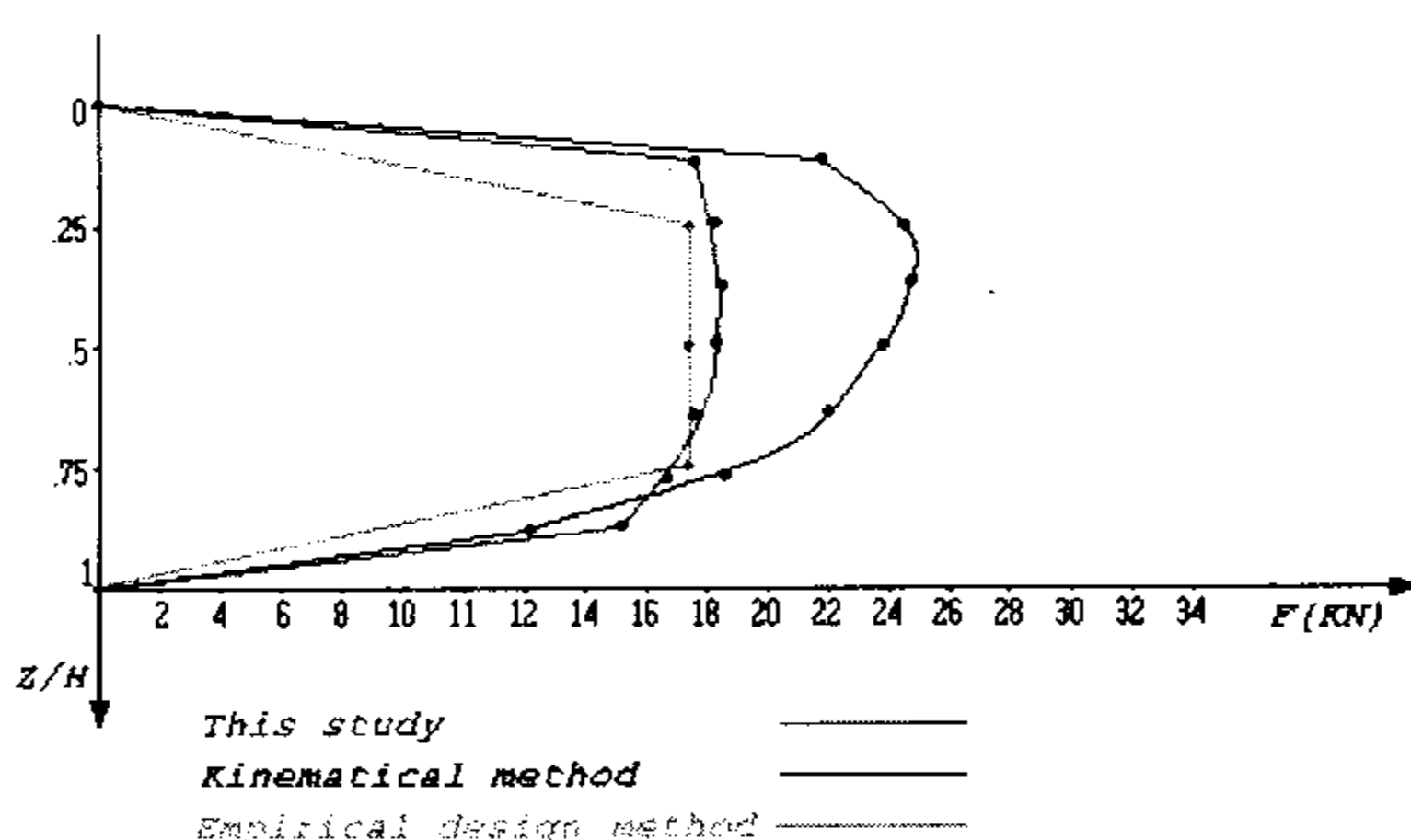
شکل ۱۰: تاثیر  $\phi$  و  $C/H\gamma$  روی حداکثر نیروی کششی ایجاد شده در میخ.



شکل ۱۴: تاثیر  $C/H\gamma$  روی ضریب اطمینان برای  $\phi=20$  در دو حالت خشک و اشباع.

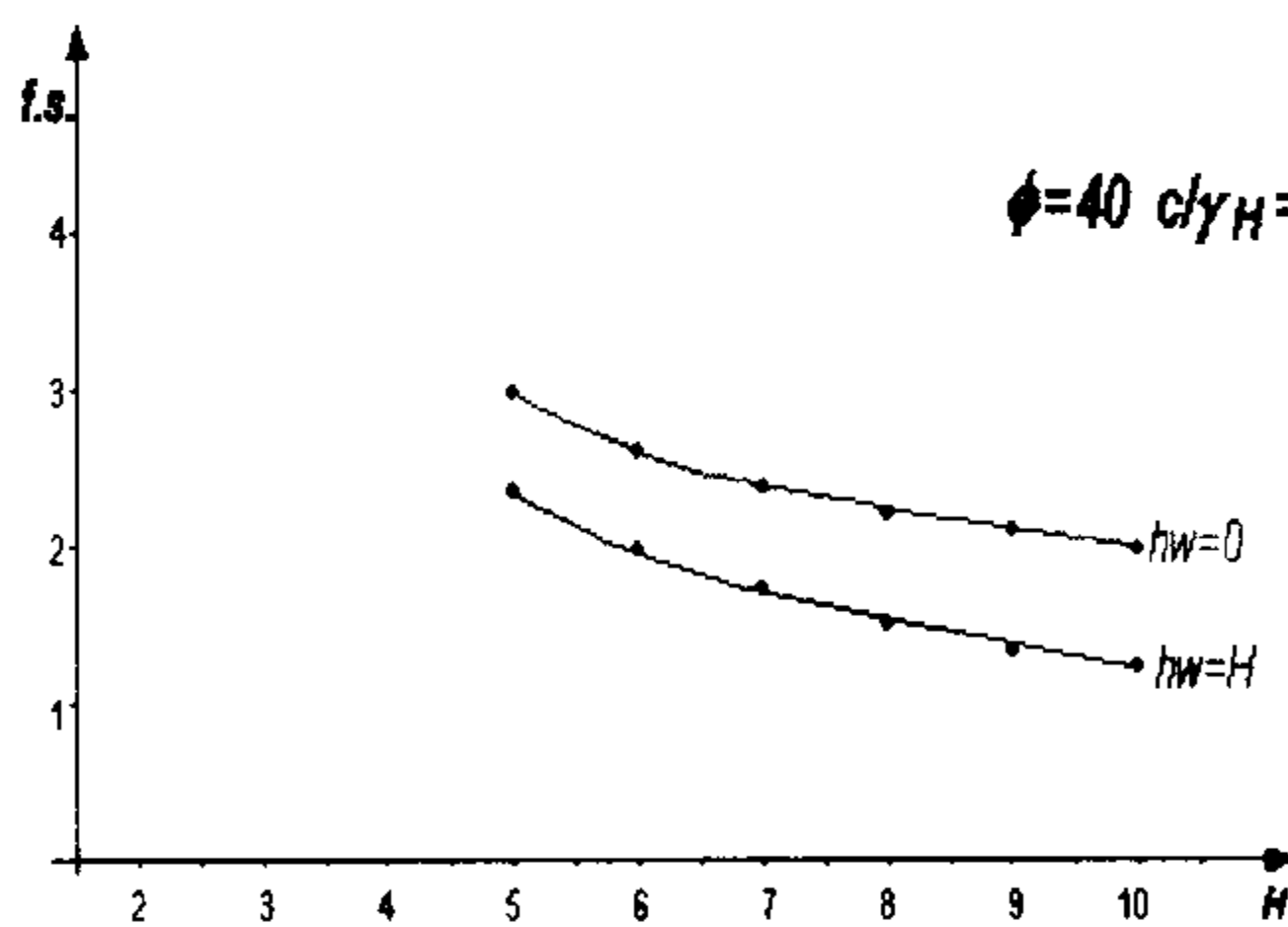


شکل ۱۱: تاثیر  $\phi$  و  $C/\gamma H$  روی ضریب اطمینان برای  $H=10 m$



شکل ۱۵: مقایسه نیروی کششی داخلی میخ بین روش حاضر، روش سینماتیک حدی و روش طراحی تجربی.

در شکل (۱۵) نیروی کششی میخ با توجه به عمق هر میخ ( $Z/H$ ) نشان داده شده است. در اینجا هم بوضوح مشخص است که در میخکوبی یک دیواره میخهای میانی از اهمیت بیشتری برخوردارند. علاوه بر این جهت بررسی نتایج ارائه شده توسط برنامه



شکل ۱۲: تاثیر  $H$  روی ضریب اطمینان برای  $\phi=40$  و  $C/H\gamma=1$ .

توجه به این نیروها طول لازم جهت هر میخ در هر سطح بگونه ای بدست می آید تا پایداری موضعی میخ تامین شود . محاسبات نشان می دهند که حتی با در نظر گرفتن ضریب اطمینان پایداری موضعی برابر یک، ضریب اطمینان کلی سازه بالاتر از ۲ خواهد بود و این مسئله اهمیت تامین پایداری موضعی سازه میخ کوبی شده را نشان می دهد [۱۱].

همانطور که ذکر شد این برنامه قادر به تعیین اثر پارامتر هایی نظیر سر بار و لایه بندی خاک بر روی نیروهای بوجود آمده در میخ ها می باشد با مقایسه نتایج بدست آمده از تحلیل های عددی با نتایج مشاهده شده در مدل های حقیقی و آزمایشگاهی میتوان نتایج زیر را استخراج نمود.

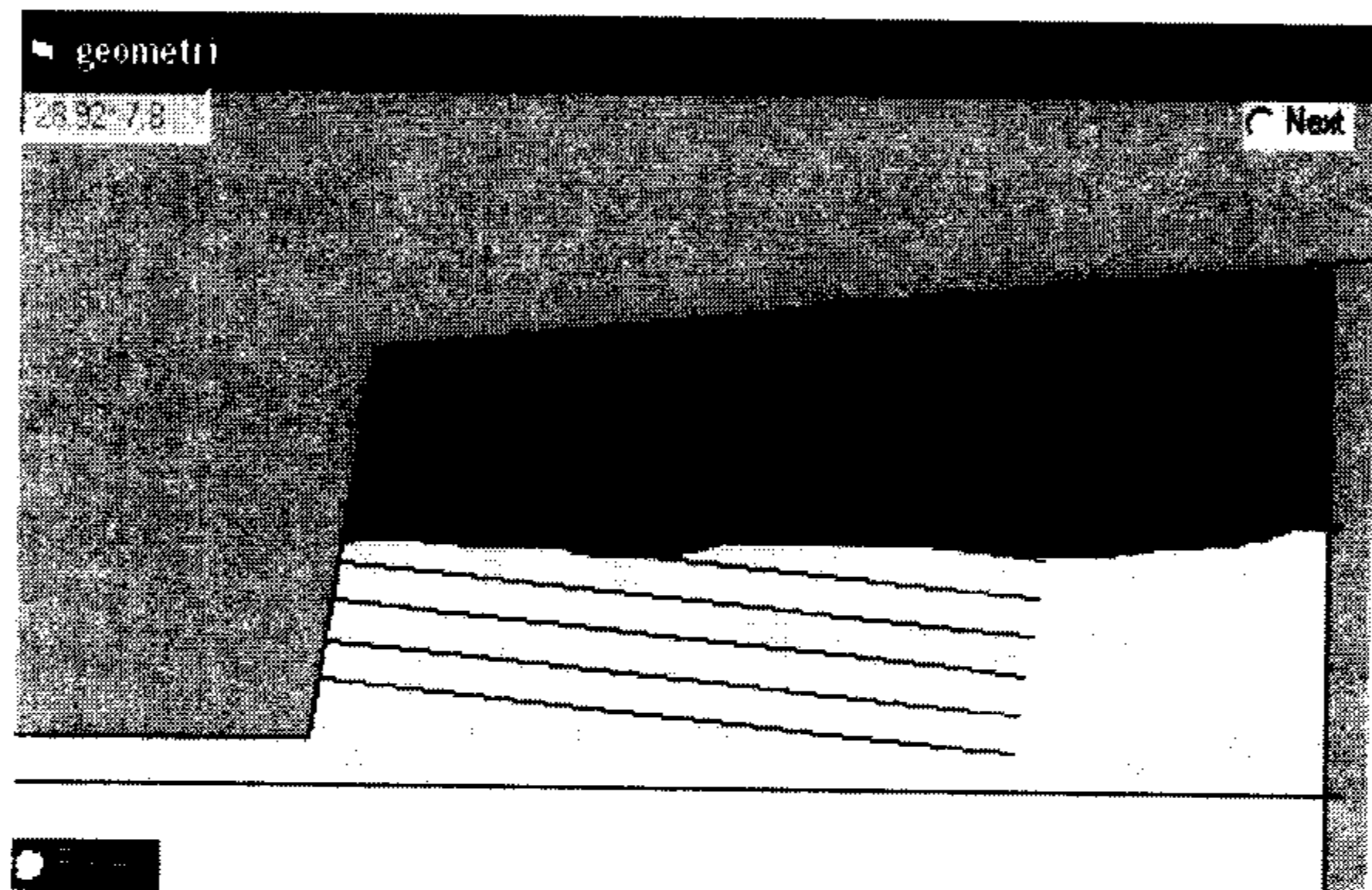
۱- در طراحی سازه های خاکی میخکوبی شده بایستی همواره توجه به قسمت میانی دیواره منعطف گردد.

۲- سازه خاکی را با زاویه منفی برای میخکوبی می توان طراحی نمود تا اولا از تعدادی از میخها عنوان زهکش استفاده کرد و سطح ایستایی آب را پایین برد و ثانیا کارایی میخ را بالا برد. بنابراین زمینه برای استفاده از سیستم میخکوبی در خاکهای ریز دانه اشباع بیشتر فراهم می گردد. هرچند بکاربردن سیستمهای میخ کوبی و مهار بندی خاک در خاک های ریز دانه چسبنده توصیه نشده است ، اما انجام تحقیقات بعدی بر روی سیستم گسیختگی خاک و همچنین بررسی اندرکنش اینگونه خاک ها با مصالح ضروری بنظر می رسد.

۳- این تحقیق نشان می دهد که روش حاضر قابلیت بررسی اثر پارامترهای مختلف نظیر پارامترهای مکانیکی و زاویه مصالح تسلیح را بر رفتار سیستم و قابلیت طرح بهینه سازه های خاکی با چند لایه خاک دارا می باشد.

رایانه ای نوشته شده این نتایج با نتایج روش های تجربی بدست آمده از مدل های حقیقی و آزمایشگاهی در شکل (۱۵) مقایسه شده است [۱]. این بررسی نشان می دهد که نتایج برنامه تا حد قابل قبولی با نتایج بدست آمده از این روشها همخوانی دارد.

برنامه علاوه بر تحلیل شبیه های همگن توانایی تحلیل خاک های میخکوبی شده لایه ای یا لنزدار را با امکاناتی که در برنامه تعبیه شده است دارد، شکل (۱۶). نتایج اینگونه تحلیل توسط کمری [۱] ارائه شده و به لحاظ تخلیص در این مقاله آورده نشده است.



شکل ۱۶ : تحلیل شبیه میخکوبی شده در خاک غیر همگن.

### نتیجه گیری

روشی که در این مقاله مورد استفاده قرار گرفته است می تواند به عنوان روش جدید طراحی سیستمهای میخکوبی در نظر گرفته شود. این روش امکان بررسی پارامترهای مختلف نظیر زاویه و شبیه شیروانی، اثر سطح ایستایی آب، اثر سربار، تغییرات پارامترهای مکانیکی خاک و اثر لایه بندی خاک را بر موقعیت و مقدار حداکثر نیروهای کششی و برشی بوجود آمده در میخ ها و پایداری توده میخ کوبی شده فراهم می کند.

تفاوت اساسی این روش و روش های معمول طراحی در بررسی پایداری موضعی میخ ها و تغییر شکلها می باشد. روش های معمول طراحی تقریبا "همگی پایداری کلی توده میخ کوبی شده را در نظر می گیرند در حالیکه در این روش ابتدا نیروهای بوجود آمده در میخ ها بدست آمده و سپس با

## مراجع

- ۱ - کمری م. "بررسی شبیهای خاکی مهار شده با میخکوبی." پایان نامه کارشناسی ارشد، دانشگاه شیراز، (۱۳۸۰).
- ۲ - Cartier, G. and Gigan, I. P. (1983). "Experiments and observation on soil nailing structures." *Proceeding of the VIII Conference of E.C.S.M.F.E*, Helsinki.
- ۳ - Elias, V. and Juran, I. (1988). "Draft Manual of Practice for soil nailing." *Prepared for us Departement of Transportation, FHWA*, Contract DTFH-61-85-c-00142
- ۴ - Guilloux, A. and Notte, and Gonin, (1983). *Experince on a retaining structure by nailing proceeding of VIII conference of I.C.S.M.F.E*. Stockholm.
- ۵ - Guilloux, A. and Schlosser, F. (1984). "Soil nailing practical applications." *Proceeding of the Symposium on Soil and Rock Improvement Technique*.
- ۶ - Juran, I. (1985). "Reinforced soil systems – application in retaining structures." *Geotechnical Engineering*, Vol. 16.
- ۷ - Louis, C. (1986). "Theory and Practice in soil nailing temporary or permanent works." *ASCE, Annual Conference*, Boston.
- ۸ - Luo. S. Q., Ho, C. E., TAN, S. A. and Yong, K. Y. (1998). *Stabilization of Basement Excavation With Soil Nail and Ground Anchors* On 2nd International Conference On Ground Improvement Techniques, 7-9 October. Singapor, PP. 327-336.
- ۹ - Rabejac, S. and Toudic, P. (1974). *Construction d'un mur de soutennement entre Versailles – Matelos*, Revue General des chmins de Fer, PP. 232-237.
- ۱۰ - Schlosser, F. (1983). "Analogies et difference dans le comportement et le cacul des ouvrages de soutennement en terra armee et par clouge dusol." *Annals de l'Institut Technique du Batiment et des Trauaux*, Poblics, No. 418.
- ۱۱ - Schlosser, F., Juran, I. and Jacobsen, H. M. (1983). "Soil reinforcement." *General Report VIII E.C.S.M.F.E*, Helsinki.
- ۱۲ - Shen, C. K., Herrmann, L. R., Romstand, K. M., Bang, S., Kim, Y. S. and Denatole. (1981). *In situ Earth reinforcement lateral support system*. Report to Department of civil engineering, university of California, Davis.
- ۱۳ - Stocker, M. F., Korber, G. W., Gassler, G. and Gudehus, G. (1979). "Soil nailing." *C.R. Coll. Int Reinforcement Des Sols*, PP. 469-474.

## واژه های انگلیسی به ترتیب استفاده در متن

- ۱ - Soil nailing
- ۲ - Pull out
- ۳ - Ground Anchor
- ۴ - Passive inclusion
- ۵ - Shotcrete